

مقاله پژوهشی:

تأثیر نانوذره اکسید آهن بر پایداری حرارتی و سینتیک آنزیم تریپسین

لیدا مومنی*

Effect of iron oxide nanoparticles on thermal stability and kinetics of trypsin

Lida Momeni*

Assistant Professor of Biology, Department of Science,
Payame Noor University, Iran.

(Received: Apr. 25, 2020 - Accepted: Apr. 10, 2021)

(تاریخ دریافت: ۱۳۹۹/۲/۶ - تاریخ پذیرش: ۱۴۰۰/۱/۲۱)

Abstract

In this study, the effect of iron oxide nanoparticles on the structure, thermal stability and activity of bovine pancreatic trypsin was investigated. Various spectroscopic techniques including UV absorption, circular distortion, thermal stability, fluorescence and kinetics at pH 8 were used to achieve this goal. Thermodynamic and kinetic results showed that trypsin stability decreased in the presence of iron oxide nanoparticles and increased its activity. Fluorescence spectroscopy showed that the nanoparticles can reduce trypsin fluorescence through static quenching. Based on the thermodynamic parameters, the process of binding the nanoparticles to trypsin is performed as a spontaneous reaction which the electrostatic forces play the main role in. Circular dichroism studies showed changes in the secondary structure of trypsin as an increase in α -Helix 1 content and a decrease in β -sheets. UV spectroscopy showed that iron oxide nanoparticles bind to trypsin and cause changes in protein structure. The interaction studies of Fe_3O_4 nanoparticles and trypsin show that not only water and solvent molecules can affect on 3D structure of trypsin and protein but also play an important role in adsorption nanoparticles.

Keywords: Iron oxide nanoparticles (Fe_3O_4), Kinetic, Spectroscopy, Thermodynamic, Trypsin.

چکیده

در این مطالعه، چگونگی تأثیر نانوذره اکسید آهن در ساختار، پایداری حرارتی و فعالیت آنزیم تریپسین پانکراس گاو بررسی شد. برای دستیابی به این هدف از تکنیک‌های مختلف طیفسنجی از جمله جذب UV، دورنگی دورانی، پایداری حرارتی، فلورسانس و سینتیک در pH 8 استفاده شد. نتایج ترمودینامیک و سینتیک نشان داد، که پایداری تریپسین در حضور نانوذره اکسید آهن کاهش و فعالیت آن افزایش یافت. طیفسنجی فلورسانس نشان داد که نانوذره می‌تواند فلورسانس تریپسین را از طریق خاموشی استاتیک کاهش دهد. براساس پارامترهای ترمودینامیکی، فرایند اتصال نانوذره به تریپسین به صورت واکنش خودبخودی انجام شده که نیروهای الکتروستاتیک نقش اصلی را ایفا می‌کند. مطالعات دورنگی نمایی دورانی دور تغییرات در ساختار دوم تریپسین را به صورت افزایش در محتوای مارپیچ آلفا و کاهش ساختارهای بتا نشان داد. مطالعه طیفسنجی UV ثابت کرد که نانوذره اکسید آهن به تریپسین متصل شده و باعث تغییراتی در ساختار پروتئین شده است. مطالعات واکنش بین نانوذره اکسید آهن و تریپسین نشان می‌دهد که نه تنها آب و مولکولهای حلal می‌توانند بر روی ساختار سه بعدی تریپسین و به طور کلی پروتئین محلول اثر بگذارند، بلکه نقش مهم و حیاتی در جذب سطحی مواد نانو دارند.

واژه‌های کلیدی: ترمودینامیک، تریپسین، سینتیک، طیفسنجی، نانوذره اکسید آهن (Fe_3O_4).

مقدمه

سازگاری زیستی، پایداری شیمیابی و تجمع قابل توجه در محل بیمار، به طور گسترده برای کاربردهای پزشکی مورد مطالعه قرار گرفته‌اند (Shareghi *et al.*, 2016). چالش مهم برای اینمی نانوذرات برای کاربردهای زیست‌پزشکی این است، که پروتئین می‌تواند هنگام تعامل با نانوذرات و هنگام قرار گرفتن در معرض محیط فیزیولوژیکی دناخوره شود که در حالت دناخواراسیون پروتئین، فعالیت آن می‌تواند تغییر کند (Momeni *et al.*, 2017). از آنجاکه فعالیت‌های بیولوژیکی پروتئین‌ها به کنفورماسیون آنها بستگی دارد، دانستن کنفورماسیون پروتئین پس از تعامل با نانوذرات بسیار مهم است (Mahmoudi *et al.*, 2011). ما تعامل تریپسین با نانوذرات TiO_2 , MgO و NiO را با شرایط متفاوت مطالعه کردایم (Momeni *et al.*, 2017; Momeni *et al.*, 2017; Mahmodian *et al.*, 2018) (Mahmoudi *et al.*, 2011) ساختار دوم پروتئین ترانسفرین انسانی Fe_3O_4 اشباع شده آهن را پس از تعامل با نانوذرات Fe_3O_4 مورد مطالعه قرار دادند و مشاهده کردند که کنفورماسیون پروتئین با توجه به رهاشدن آهن از ساختار اصلی به طور غیرقابل بازگشت باز شده است. Shareghi *et al.* (2016) گزارش کردند که نانوذره Fe_3O_4 فعالیت و پایداری حرارتی آنزیم لیزوژیم را افزایش داده است. در بین انواع مختلف نانوذرات که کاربرد پزشکی دارند نانوذرات مغناطیسی اکسید آهن به دلیل زیست‌سازگاری، خواص مغناطیسی، شکل و اندازه قابل کنترل مورد توجه قرار گرفته‌اند (Mahmoudi *et al.*, 2011) (Mahdavian & Mirrahimi, 2010; Mahmoodi *et al.*, 2011). علاوه بر این، نانوذرات مغناطیسی اکسید آهن در کاربردهای کاتالیزی، ذخیره داده‌های مغناطیسی، تصویربرداری زیست‌پزشکی

پایداری پروتئین‌ها به ویژه آنزیم‌ها فاکتور تعیین‌کننده در کاربرد آنزیم‌ها به صورت تجاری است. پایداری آنزیم محدودیت اصلی عملکرد آنزیم در محیط‌های غیر طبیعی است بنابراین افزایش پایداری آنزیم هدف ارزشمند مهندسی پروتئین می‌باشد (Shaw & Bott (1996). روش‌های مختلفی برای افزایش پایداری آنزیم وجود دارد از جمله این روش‌ها اصلاح آنزیم، مهندسی پروتئین و مهندسی محیط، اتصال متقطع، جذب فیزیکی، اتصال یونی و فلزی، اتصال کووالانسی و روش‌های جذبی نظیر جذب ژلی، جذب فیبری، برای آنزیم‌های نامحلول و در عین حال غشاها اولترا فیلتری برای آنزیم‌های محلول می‌باشد (Shami, 1989; Kim, 2006). در مهندسی محیط به جای آن که ساختار آنزیم را تغییر دهند، با تغییر محیط اطراف، ساختار آنزیم را پایدار می‌کنند. در این روش با استفاده از حلال‌های آلی غیر آبی و یا با تغییر ترکیب نمکی محلول آبی محیط اطراف آنزیم را تغییر داده و می‌توان آنزیم را پایدارتر کرد (Shami *et al.*, 1989). پژوهش‌گران در سال‌های اخیر به نانوذرات به عنوان ناقل ماکرومولکول‌های آبرگزیزی مانند پروتئین‌ها، واکسن‌ها و پلی نوکلئوتیدها علاقه زیادی نشان داده‌اند (Panyam & Labhasetwar 2003). نانوذرات به عنوان مواد افزودنی در خمیر دندان، ضد آفتاب و رنگ استفاده می‌شوند و به دلیل کوچک بودن می‌توانند وارد بدن شوند و واکنش التهابی مضری را در بافت‌های حساس ایجاد کنند (Momeni, 2017). این ذرات می‌توانند جذب لوله گوارش شده و از طریق عروق به سیستم عصبی بررسند و باعث استرس اکسیداتیو و تغییرات پاتولوژیکی در بدن شوند (Momeni *et al.*, 2017). نانوساختارهای مختلف، به طور کلی یک منطقه بزرگ برای بی‌حرکتی مولکول‌های آنزیم فراهم می‌کنند که آنزیم را پایدارتر می‌کنند (Momeni *et al.*, 2017). نانوذرات اکسید آهن مغناطیسی (Fe_3O_4) به دلیل

آب مقطر دوبار تقطیر حل شد و سپس عمل انحلال کامل با استفاده از امواج صوتی (سونیکیشن) روی آنها انجام گرفت. سونیکیشن برای دو بار متوالی هر کدام ۱۰ دقیقه در دستگاه سونیکیتور صورت گرفت.

مطالعه طیف‌سنجدی نوری آنزیم تریپسین در حضور نانوذره Fe_3O_4

طیف‌های جذب الکترونی توسط دستگاه اسپکتروفتومتر UV/Vis مدل فارماسیا ۴۰۰۰ مجهز به دستگاه تنظیم دما (PLT) ثبت شد. اثر غلظت‌های مختلف نانوذره Fe_3O_4 (صفرا تا ۱۹ میکروگرم بر میلی‌لیتر) در طول موج‌های ۲۸۰–۴۰۰ نانومتر در دمای ۳۷ درجه سانتی‌گراد بر روی آنزیم تریپسین با غلظت ۰/۱ میلی‌گرم در میلی‌لیتر در محلول ۵۰ میلی‌مولار بافر تریپس با pH ۸ ثبت شد. پایداری حرارتی آنزیم در دامنه حرارتی ۲۰–۹۰ درجه سانتی‌گراد نیز توسط طیف‌های جذب الکترونی مورد ارزیابی قرار گرفت (Wang *et al.*, 2011).

مطالعه برهمکنش نانوذره Fe_3O_4 با تریپسین به کمک طیف‌سنجدی فلورسانس

طیف‌های فلورسانس توسط دستگاه اسپکتروفلوریمتر شیمادزو مدل RF-5103PC ثبت شد. ابتدا مخلوط دارای ۱/۰ میلی‌گرم در میلی‌لیتر تریپسین و ۵۰ میلی‌مولار بافر تریپس در طول موج ۲۸۰ نانومتر برانگیخته و شدت نشر فلورسانس آن بین ۴۵۰–۲۹۰ پرازنگی خود را ثبت شد. سپس غلظت‌های مختلفی از نانوذره Fe_3O_4 (صفرا، ۱، ۳، ۵ و ۷ میکروگرم بر میلی‌لیتر) به محلول تریپسین-باfer تزریق شد و پس از هر تزریق طیف فلورسانس آنها در دو دمای ۲۵ و ۳۵ درجه سانتی‌گراد ثبت گردید (Momeni *et al.*, 2017).

مطالعه طیف دورنگ نمایی دورانی (CD) آنزیم تریپسین در حضور نانوذره Fe_3O_4 طیف‌های دورنگ‌سنجدی حلقوی (CD) در ناحیه

چندحالت، تحويل داروهای هدفمند، تشخیص و درمان سلطان مورد توجه قرار دارند و عنصر غالب ذرات محیطی و شغلی هستند (Powers *et al.*, 2006). تریپسین، سرین پروتئاز، یک پروتئین کروی دارای ۲۲۳ اسید آمینه است که از پانکراس گاو ترشح می‌شود و ترکیبات پپتیدی را در رزیدیوهاي آرژینین و لیزین (Rawlings & Salvesen 2013) بش می‌دهد. تریپسین بهدلیل داشتن تعداد زیادی تیروزین، سیستین و رزیدیوهاي باردار که تمایل دارند به کمپلکس‌های یون آهن متصل شوند، انتخاب مهمی برای فرایندهای نانوفناوری می‌باشد. نقطه ایزواکتریک (pI) تریپسین و نانوذره Fe_3O_4 به ترتیب ۱۰/۵ و ۶/۵ است و در pH ۸ به ترتیب دارای Bar Rawlings & Salvesen (2013). تحقیقات در مورد تعامل نانوذره اکسید آهن و تریپسین در زمینه‌های مختلف به توصیف اساس شیمیایی تعامل بین زیست‌مولکول‌های زیستی و نانوذرات مغناطیسی کمک می‌کند. در این کار ثبات آنزیم در حضور نانوساختارهای Fe_3O_4 مورد بررسی قرار گرفت. هدف از این کار، بررسی پایداری حرارتی، فعالیت و تغییرات کنفورماسیونی دوم و سوم تریپسین بر روی سطوح نانوذرات مغناطیسی Fe_3O_4 با استفاده از Tm، طیف‌های UV-Vis، فلورسانس و دورنگی نمایی دورانی و مطالعات سینتیکی است.

مواد و روش‌ها

آنژیم تریپسین از منبع پانکراس گاو، سوبستراتی آنزیم -N-بنزوئیل-L-آرژینین اتیل استر (BAEE) و بافر تریپس از شرکت سیگما و نانوذره Fe_3O_4 از شرکت US NANO خریداری شد. کلیه آرمايش‌ها سه بار تکرار شد.

انحلال نانوذره Fe_3O_4
جهت تهیه محلول استوک mg/ml ۰/۲۵ نانوذره Fe_3O_4 ، ابتدا ۱/۲mg از این نانوذره وزن و در ۴/۸ml

بنفس معمولاً با اندازه‌گیری‌های تکنیک CD مطابقت دارند، که می‌تواند به عنوان ابزاری ساده و عالی برای بررسی برهمکنش آنزیم با لیگاند و تعیین گذارهای ساختاری در آنزیم در نظر گرفته شود. این گذار توسعه تغییرات در طول موج جذب و قدرت جذب آنها ارائه می‌شود (Wang & Zhang, 2014). تریپسین دارای حداکثر جذب در طول موج ۲۱۶ نانومتر بوده و شدت جذب آن پس از افزودن نانوذره Fe_3O_4 کاهش یافته است که دلیل آن، انتقالات از $\pi \leftarrow \pi^*$ ساختار ستون فقرات پلی پپتیدی به $\text{C}=\text{O}$ تریپسین می‌باشد که نشان‌دهنده تغییر ساختار ثانویه بیومولکول‌ها است (Kotormán *et al.*, 2003). همچنین، تریپسین به دلیل جذب اسیدهای آمینه آروماتیک (تیروزین، تریپتوفان و فنیل آلانیل) دارای قله جذب ضعیفی در طول موج ۲۸۰ نانومتر است که تغییر ریز محیط کروموفور را نشان می‌دهد (Wang *et al.*, 2015). می‌توان مشاهده کرد که با افزودن غلظت نانوذره Fe_3O_4 ، شدت جذب تریپسین تغییر یافته و اثر هیپوکرومیک جزئی در حداکثر قله‌های جذب تریپسین در ۲۱۶ و ۲۸۰ نانومتر مشاهده شده است، اما موقعیت اوج طیف‌های جذب هیچ شیفت‌آبی یا قرمز نداشت. شواهد نشان می‌دهد در اثر برهمکنش بین نانوذره Fe_3O_4 و تریپسین، یک کمپلکس پروتئین-لیگاند با کنفورماسیون جدید خاص تشکیل شده است. شکل گیری کمپلکس باعث تغییر ساختار زنجیره پپتید و موقعیت رزیدیوهای کروموفور تریپسین می‌شود. کروموفورهایی مانند تیروزین، تریپتوفان و فنیل آلانیل موجود در تریپسین مسئول جذب در طول موج ۲۸۰ نانومتر هستند (Chi *et al.*, 2010).

شدت جذب کمپلکس- Fe_3O_4 -تریپسین در طول موج ۲۸۰ نانومتر کاهش یافته است. این نتایج نشان می‌دهد ساختار اسکلت پروتئین تغییر یافته است (Liu & Chanphai *et al.*, 2012; Liu, 2016). این احتمال وجود دارد که کمپلکس- Fe_3O_4 -تریپسین از ضریب جذب مولی پایین‌تری نسبت به آنزیم آزاد

Far-UV (۲۰۰-۲۶۰ نانومتر) و توسط دستگاه اسپکتروپلاریمتر مدل AVIV ۲۱۵ ثبت شد. ضخامت سل‌های آزمایش Far-UV ۱ میلی‌متر و غلظت تریپسین در آزمایش‌های Far-UV $0/\text{pH } 8/50$ میلی‌گرم بر میلی‌لیتر در بافر تریپس (۵۰ میلی‌مولار با $\text{pH } 8$) بود. ابتدا محلول آنزیم با غلظت‌های ۳ و ۷ میکرو‌گرم بر میلی‌لیتر) نانوذره مخلوط شد و طی زمان ۴ دقیقه به تعادل رسید؛ سپس طیف‌ها ثبت شد. تغییرات مربوط به ساختار دوم پروتئین به وسیله برنامه CDNN ورژن ۲/۱۰/۲۲۳ تعیین شد. نتایج CD براساس وزن متوسط رزیدیوهای آمینو اسید (MRW) تریپسین [θ] (ellipticity) $98/5$ دالتون) در بیضوی مولار ($\text{deg cm}^2\text{mol}^{-1}$) (Wang, Zhu *et al.* (2011)

بررسی سیستیک آنزیم تریپسین در حضور نانوذره Fe_3O_4
در این آزمایش، از دستگاه اسپکتروفوتومتری UV/Vis مدل فارماسیا ۴۰۰۰ استفاده شد. غلظت نمونه آنزیم تریپسین مورد استفاده $1/0$ میلی‌گرم در میلی‌لیتر بود و بافر تریپس 50 میلی‌مولار مورد استفاده قرار گرفت. سوبستراتی مورد استفاده در این آزمایش، $\text{N}-\text{A}-\text{L}-\text{BAAE}-\text{N}-\text{A}$ -بنزوئیل- ارزینین اتیل استر (BAEE) بود. طول اوج ۲۵۴ نانومتر جهت پیگیری میزان تجزیه سوبسترا توسط تریپسین استفاده شد. در این مطالعه، اثر غلظت‌های مختلف نانوذره Fe_3O_4 (صفر، ۱، ۳، ۵ و ۷ میکرو‌گرم بر میلی‌لیتر) در دمای $30/8$ درجه کلوین و $\text{pH } 8$ بر سنتیک آنزیم تریپسین مورد بررسی قرار گرفت (Rajabi *et al.*, 2019).

نتایج

طیف جذب الکترونی (UV-Vis spectra)

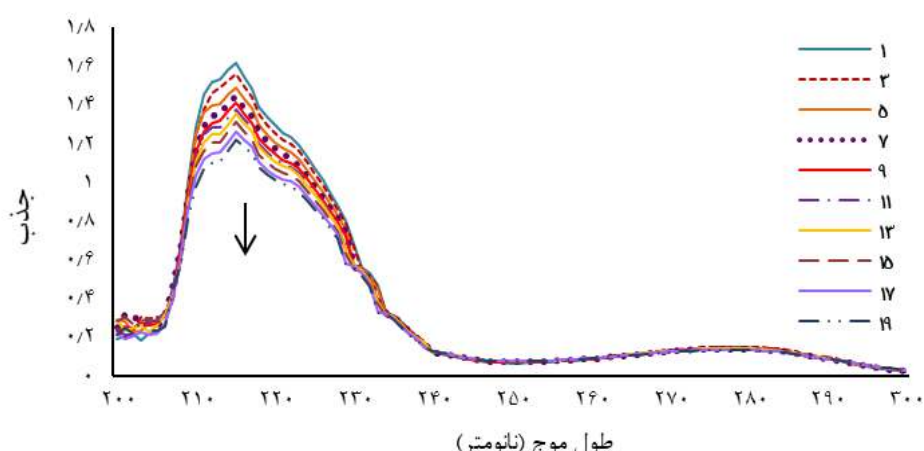
طیف‌های جذب الکترونی کمپلکس‌های نانوذره Fe_3O_4 -تریپسین در شکل ۱ نشان داده شده است. نتایج به دست‌آمده از طیف‌های جذب اشعه ماوراء

آزمایشگاهی است؛ غلظت پروتئین و طول کووت ثابت است و طبق فرمول اگر جذب کاهش یابد نتیجه می‌گیریم که کاهش جذب به طور مستقیم با کاهش ضریب مولی رابطه دارد. بنابراین تغییرات ساختار پروتئین منجر به تغییر ضریب مولی و در نهایت تغییرات جذب می‌شود (Schmid, 2001). Wang *et al.* (2011) در مطالعات پیشین گزارش دادند که نانوذرات TiO_2 به سطح تریپسین متصل شده و برهمنکشی قوی بین نانوذرات و پروتئین انجام شده که این برهمنکش منجر به کاهش جذب اشعه UV توسط آنزیم تریپسین شده است.

پایداری حرارتی

تغییر در پارامترهای محیط پیرامون پروتئین مانند دما، حلال و pH می‌تواند منجر به تغییرات شدیدی در خصوصیات فیزیکی و از بین رفتن عملکرد بیولوژیکی پروتئین شود. به این پدیده دگرگون شدن یا دناتوراسیون پروتئین گفته می‌شود (Murphy 2001). دگرگون شدن به عنوان یک پدیده دو حالتی بین حالت‌های باز و تاخورده دیده می‌شود. نیروهای نگهدارنده پروتئین در طی فرایند دگرگون‌سازی آزاد می‌شوند (Oobatake & Ooi, 1993).

Momeni *et al.*, 2016; Momeni (et al., 2017) رزیدیویی تریپتوفان نسبت به تغییر در محیط بهدلیل تغییر گرما یا اتصال لیگاند حساس است. محیط اطراف تریپتوفان‌ها با تغییر هیدروفویسیته محیط بهدلیل تغییر دما یا اتصال لیگاند، تغییر یافته و در نتیجه مقدار جذب آنزیم کاهش می‌یابد (Lu *et al.*, 2011). نتایج طیف جذب پیش‌بینی می‌کند که مکانیسم خاموشی احتمالی فلورسانس تریپسین توسط نانوذره استاتیک باشد. این امر به این دلیل است که خاموشی دینامیک تا حد زیادی بهدلیل برخورد و انتقال انرژی از تریپسین به خاموش‌کننده است (Wang *et al.*, 2015). چون تریپسین (pI ۱۰/۵) در pH ۸ بار مثبت و نانوذره Fe_3O_4 (pI ۶/۵) بار منفی دارد، بنابراین نیروی الکتروستاتیک فرایند بازشدن تریپسین را رهبری می‌کند (Rawlings & Salvesen 2013). کاهش محسوس در جذب اشعه UV نشان می‌دهد که برهمنکشی نسبتاً قوی بین نانوذرات و پیوندهای سطحی تریپسین رخ داده و بدنبال آن تغییر خاصی در کنفورماتیون این پروتئیناز ایجاد می‌شود. بر اساس قانون بیرلامبرت A = e.c.l که A نشان‌دهنده جذب، e ضریب جذب مولی پروتئین در حضور و غیاب نانوذره، c غلظت پروتئین و l طول کووت



شکل ۱. طیف جذب تریپسین در حضور و غیاب نانوذره Fe_3O_4 (صفرا تا ۱۹ میکروگرم بر میلی‌لیتر) در دمای ۳۱۰ درجه کلوین و بافر تریس (۵۰ میلی‌مولار و pH ۸).

سیگموئید است. کسر دگرگون شده تریپسین Fe_3O_4 (F_d) و همچنین ثابت تعادل (K) از طریق معادله (۱) محاسبه شد (Momeni *et al.*, 2018):

$$F_d = (Y_{obs} - Y_n) / (Y_d - Y_n) \quad (1)$$

در این معادله، F_d کسر دگرگون شده تریپسین است و Y_n, Y_{obs} و Y_d به ترتیب جذب مشاهده شده و جذب حالت طبیعی و جذب حالت کاملاً دگرگون شده هستند. شکل ۲ نشان می‌دهد که با افزایش غلظت نانوذره Fe_3O_4 منحنی‌ها به دمای پایین‌تر منتقل می‌شوند که نشان‌دهنده تغییر کسر از تریپسین دگرگون شده است.

تغییرات انرژی آزاد گیس (ΔG°) برای توصیف مطالعات تاخوردگی پروتئین مفید است. همچنین، دمای ذوب (T_m) و تغییرات آنتالپی (ΔH°) برای شناسایی نیروهای غیر کووالانسی که حالت‌های ساختاری مختلف پروتئین را پایدار می‌کنند مفید هستند. همچنین، این پارامترهای ترمودینامیکی ارتباط مستقیمی با ساختار پروتئین دارند و می‌توانند اطلاعات دقیقی از پایداری ساختاری مولکول در حال ارائه دهند. تغییرات انرژی آزاد گیس (ΔG°) از معادله (۲) به دست آمد:

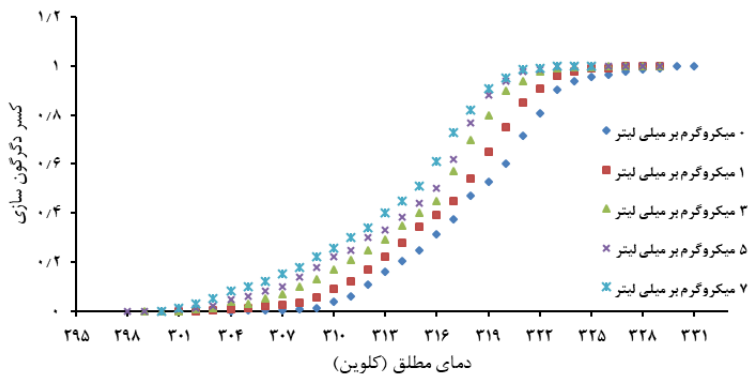
$$\begin{aligned} \Delta G^\circ &= -RT \ln K_{eq} \\ &= -RT \ln \left(\frac{F_d}{1-F_d} \right) = -RT \ln \left[\frac{Y_n - Y_{obs}}{Y_{obs} - Y_d} \right] \\ \Delta G^\circ &= \Delta H^\circ m - T \Delta S^\circ m \end{aligned} \quad (2)$$

برای ارزیابی اثر دگرگون‌سازی غلظت‌های مختلف نانوذره Fe_3O_4 بر پایداری و ساختار تریپسین، ارزیابی‌های حرارتی با استفاده از تکنیک دگرگون‌سازی حرارتی انجام شد. بسیاری از اندازه‌گیری‌های ترمودینامیکی با استفاده از مدل دو حالت، ساختار طبیعی (N) و دگرگون شده (D) تفسیر می‌شوند. ساختمان طبیعی (N) پروتئین دارای تاخوردگی مناسب است و انرژی آزاد کمتر از حالت دگرگون شده دارد. حالت دگرگون‌سازی همراه با از دست رفتن فعالیت پروتئین است ولی از دست رفتن فعالیت همیشه با دگرگون‌سازی همراه نیست چون تغییرات آرایش فضایی کوچک هم می‌تواند بدون برهم زدن ساختار تاخوردگی طبیعی پروتئین، منجر به از دست رفتن فعالیت پروتئین شود (Murphy, 2001). حالت‌های دگرگون شده و طبیعی پروتئین با هم دیگر در حالت تعادل هستند و همچنین حالت طبیعی دارای حداقل مطلق انرژی آزاد است که بدون شکستن پیوندهای کووالان به دست آمده است. این فرض به عنوان فرضیه ترمودینامیک شناخته شده است بنابراین واکنش‌های تاخوردگی بر حسب ترمودینامیک تعریف می‌شوند. تعادل دگرگون‌سازی دگرگون شده (D) و طبیعی (N) با ثابت تعادل K تعریف می‌شود (Murphy, 2001):

$$N \leftrightarrow U$$

$$K = \frac{[U]}{[N]}$$

همان‌طور که در شکل ۲ نشان داده شده، منحنی دگرگون‌سازی حرارتی کمپلکس تریپسین - نانوذره



شکل ۲. کسر دگرگون سازی حرارتی تریپسین علیه دما در حضور غلظت‌های مختلف نانوذره Fe_3O_4 (۰، ۱، ۳، ۵، ۷ میکروگرم بر میلی لیتر)

ساختاری پروتئین به سمت ساختاری بازتر نسبت داده شود. به عبارت دیگر، نانوذرات پیوندهای جدید و ضعیفی را با سطح پروتئین برقرار می‌کند که باعث شکسته شدن ساختار تاخورده پروتئین و پیوندهای Aghili *et al.*, 2016) مربوطه در داخل پروتئین می‌شود (). با افزایش غلظت نانوذره Fe_3O_4 ، پایداری آنزیم به صورت خطی کاهش یافت. این احتمال نیز هست که نانوذرات با سطح آنزیم ارتباط مطلوبی برقرار کنند و این نشان دهنده اختلال در پیوندهای دی سولفید آنزیم و ایجاد اتصال ترجیحی با سطح آنزیم است (Kumar *et al.*, 2012). تغییرات آنتروپی کمپلکس، اختلاف آنتروپی حالت بازشده و آنتروپی مشاهده شده در آزمایش است و با افزایش غلظت نانوذره T_m و پایداری آنزیم کمتر شده و آنزیم بازتر می‌شود، بنابراین آنتروپی مشاهده شده در آزمایش بیشتر شده و اختلاف آنتروپی با افزایش غلظت نانوذرات کمتر می‌شود (Oobatake & Ooi, 1993).

خاموشی فلورسانس تریپسین توسط نانوذره Fe_3O_4

طیف‌سنجی فلورسانس ابزاری بسیار قدرتمند و دقیق برای مطالعه برهمکنش‌های لیگاند-پروتئین و تغییرات کنفورماتیونی ناشی از لیگاند در اطراف محل اتصال است. این روش تجزیه و تحلیل سریع و حساس را برای تعیین اتصال ترکیبات شیمیایی مختلف به پروتئین فراهم می‌کند.

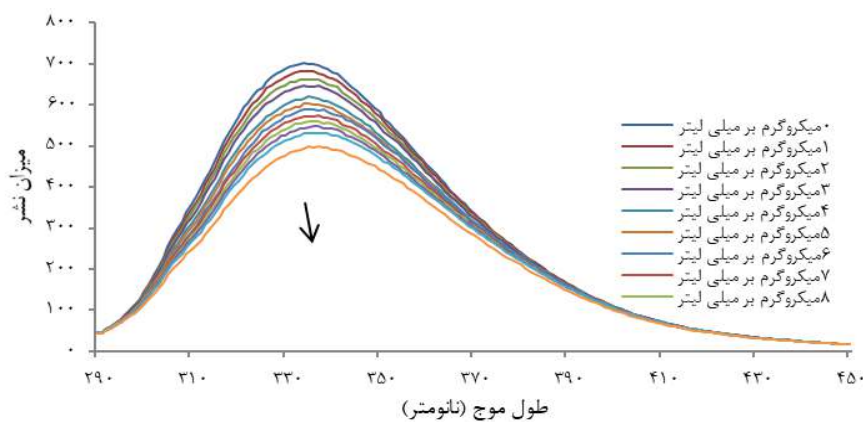
در این معادله، T و R به ترتیب ثابت تعادل، دمای مطلق و ثابت گاز هستند. طبق معادله (۲)، میزان K_{eq} با کسر دگرگون سازی ارتباطی دارد که در فرمول جایگزین شده است. نتایج پارامترهای ترمودینامیکی تریپسین در دماهای مختلف در جدول ۱ نشان داده شده است. با افزایش غلظت نانوذره Fe_3O_4 دمای ذوب تریپسین کاهش می‌یابد. عقیلی و همکاران در مطالعات پیشین گزارش کردند که نانوذرات آهن دمای ذوب آنزیم لیزوزیم را نیز کاهش داده و گونه‌ای ناپایدارتر نسبت به آنزیم طبیعی ایجاد کرده‌اند (Aghili *et al.*, 2016). ΔS°_m را می‌توان از شب منحنی دگرگون‌سازی در نقطه دمای ذوب به دست آورد، و ΔH°_m را می‌توان به کمک معادله $\Delta H^\circ_m = T_m \Delta S^\circ_m$ محاسبه کرد. مقدار ΔH°_m و ΔS°_m تریپسین در حضور نانوذره Fe_3O_4 به صورت خطی با افزایش غلظت لیگاند کاهش یافته که نشان دهنده بازتر شدن ساختار آنزیم و تغییر کسر دگرگون شده آن می‌باشد (Bahamin & Shareghi, 2014). از این نتایج، می‌توان فهمید که نانوذره Fe_3O_4 با سطح تریپسین ارتباط متقابل دارند. برهمکنش بین نانوذرات و پروتئین‌ها معمولاً با تغییر در دمای ذوب باعث ایجاد تغییر در ثبات حرارتی پروتئین می‌شوند. این تغییرات می‌تواند به صورت تغییر در کنفورماتیون پروتئین و انعطاف‌پذیری ساختاری نمایان شود. در واقع، اتصال نانوذرات باعث کاهش T_m می‌شود که این کاهش ممکن است به تغییرات

جدول ۱. پارامترهای ترمودینامیکی تریپسین در حضور غلظت‌های مختلف نانوذره Fe_3O_4 (۰، ۱، ۳، ۵، ۷ میکروگرم بر میلی‌لیتر) در دمای ذوب

$\Delta S^\circ_m \text{ Jmol}^{-1}$	$\Delta H^\circ_m \text{ kJmol}^{-1}$	$T_m \text{ کلوین}$	نانوذره Fe_3O_4 میکروگرم بر میلی‌لیتر
۱۲۵۴/۷±۱۰/۲	۳۹۸/۹۹۴±۱۱/۱۰	۳۱۸/۰±۰/۴۵	۰
۱۱۴۷/۴±۱۲/۱	۳۶۴/۱۸۴±۱۲/۰۹	۳۱۷/۴±۰/۲۳	۱
۱۰۷۸/۷±۱۰/۸	۳۴۱/۶۲۴±۱۰/۸۸	۳۱۶/۷±۰/۵۷	۳
۱۰۰۷/۴±۱۰/۳	۳۱۸/۳۵۹±۱۱/۶۷	۳۱۶/۰±۰/۳۹	۵
۹۰۴/۱±۵/۴	۲۸۴/۶۱۰±۹/۵۵	۳۱۴/۸±۰/۷۱	۷

عرض حلال است. همچنین مشاهده شد که شدت نشر فلورسانس با افزودن نانوذره Fe_3O_4 به محلول تریپسین (در طول موج ۳۳۴ نانومتر) کاهش یافته است، در نتیجه نشان می‌دهد که بین نانوذره Fe_3O_4 و تریپسین برهمکنشی رخ داده است. پس از اتصال نانوذره Fe_3O_4 به تریپسین، اسیدهای آمینه آبگریز کمتر در عرض حلال و محیط قرار گرفته‌اند. تغییرات کنفورماتیونی منعکس شده در کاهش شدت فلورسانس می‌تواند ناشی از تغییر برهمکنش بین نانوذره Fe_3O_4 و کلیه رزیدیوهای تریپسین باشد که به افزایش هیدروفیلیستی سطح کمک کرده است (Kaushik & Bhat, 1998) (از آنجاکه، در محیط آبدوست (در عرض حلال)، بازده کوانتمی آنها کاهش یافته، شدت نشر فلورسانس نیز کم شده است. در مقابل، در محیط آبگریز (مخفي شده در هسته پروتئین)، تریپتوفان عملکرد کوانتمی بالای داشت و بنابراین، شدت فلورسانس بالای مشاهده شد (Kaushik & Bhat, 1998). حداکثر طول موج نشر فلورسانس تریپسین در تعامل با نانوذره Fe_3O_4 در دمای ۳۰۸ درجه کلوین از ۳۳۴ نانومتر به ۳۴۰ نانومتر انتقال یافته است (شکل ۳). تغییر در کنفورماتیون پروتئین، مانند باز شدن، اغلب به تغییرات بزرگی در نشر فلورسانس منجر می‌شود. در پروتئین حاوی رزیدیوهای Trp، هر دو تغییر در طول موج و تغییر در شدت معمولاً هنگام بازشدن ساختار مشاهده می‌شوند (Ghosh, 2008). بنابراین نتایج خاموشی نشر فلورسانس نتیجه طیف CD را تأیید می‌کند. Momeni *et al.* (2017) در مطالعات پیشین گزارش دادند که نانوذرات TiO_2 ، NiO و MgO شدت نشر فلورسانس تریپسین را کاهش داده‌اند (Momeni *et al.*, 2017; Aghili *et al.*, 2018) (Mahmodian *et al.*, 2018) نیز در مطالعات پیشین خود کاهش شدت نشر فلورسانس لیزوزیم را در حضور نانوذرات آهن گزارش کرده‌اند.

فلورسانس انتشار فوتون است به دلیل انتقال یک الکترون از یک مدار با انرژی بالاتر به مدار سطح پایین‌تر اتفاق می‌افتد. برخی رزیدیوهای اسید آمینه آنزیم‌ها مانند تیروزین، تریپتوفان و فنیل‌آلانین به طور ذاتی فلورسانس هستند. هر فرایندی که باعث کاهش شدت فلورسانس یک پروتئین می‌شود، خاموش شدن فلورسانس گفته می‌شود. فنیل‌آلانین دارای عملکرد کوانتمی پایینی است و تیروزین اگر نزدیک رزیدیو تریپتوفان، گروه کربونیل، گروه آمینو باشد و یا زمانی که یونیزه می‌شود نشر آن خاموش می‌شود. تریپسین دارای چهار رزیدیو تریپتوفان (Trp۵۱، Trp۱۴۱، Trp۲۱۵ و Trp۲۳۷) است که همراه با رزیدیو تیروزین نقش عمده‌ای در نشر فلورسانس تریپسین ایفا می‌کنند (Oobatake & Ooi, 1993). سیستئین مهارکننده قوی نشر فلورسانس تریپتوفان است و تریپتوفان‌های مجاور رزیدیوهای سیستئین به میزان قابل توجهی در انتشار کلی فلورسانس نقشی ندارند، فقط Trp ۵۱ نقش عمده را در نشر فلورسانس دارد زیرا نسبت به گروه‌های سیستئین نسبتاً دور است (Koutsopoulos *et al.*, 2007). گروه ایندول رزیدیو تریپتوفان مسئول سیگنال فلورسانس پروتئین‌های حاوی این رزیدیو است (Millan *et al.*, 2016). بنابراین، برای ارزیابی خاموشی فلورسانس، فلورسانس ذاتی رزیدیو تریپتوفان در پروتئین در حضور و عدم حضور نانوذره Fe_3O_4 اندازه‌گیری شد. تغییرات در طیف‌های نشر تریپتوفان مربوط به انتقال کنفورماتیونی پروتئین یا Farhadian *et al.*, 2018) (شکل ۳ طیف نشر فلورسانس تریپسین را در حضور غلظت‌های مختلف نانوذره Fe_3O_4 ، در طول موج انگیزشی ۲۸۰ نانومتر و دماهای ۲۹۸ و ۳۰۸ درجه کلوین در بافر ۵۰ میلی‌مولار تریس (pH ۸) نشان می‌دهد. بیشترین میزان نشر فلورسانس تریپسین در طول موج ۳۳۴ نانومتر مشاهده شد که نشان می‌دهد Trp اختصاصی تریپسین تاحدی در



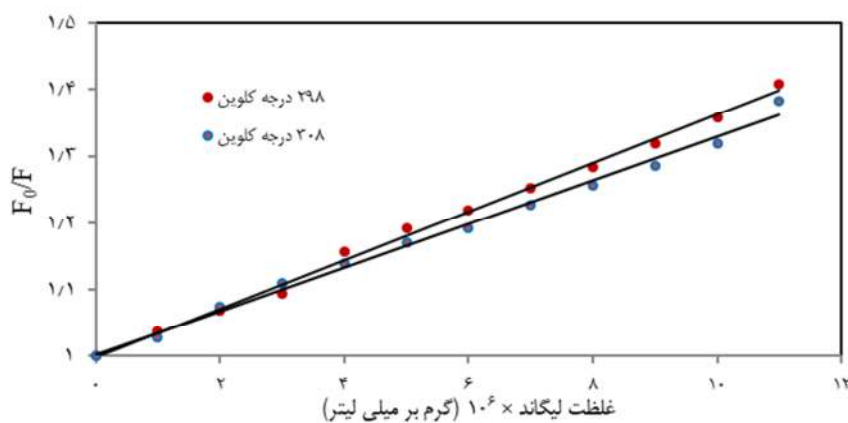
شکل ۳. طیف نشر فلورسانس تریپسین در حضور غلظت‌های مختلف نانوذره Fe_3O_4 (صفر تا ۸ میکروگرم بر میلی‌لیتر) در دمای ۳۰۸ درجه کلوین

$$\frac{F_0}{F} = 1 + K_{SV}[Q] = 1 + k_q \tau_0 [Q] \quad (3)$$

در اینجا F_0 و F شدت فلورسانس حالت پایدار تریپسین در غیاب و حضور نانوذره Fe_3O_4 هستند، τ_0 میانگین نیمه‌عمر تریپسین در غیاب خاموش‌کننده (10 ثانیه)، k_q ثابت خاموشی بیومولکولی، K_{SV} ثابت خاموشی استرن-ولمر و $[Q]$ غلظت نانوذره Fe_3O_4 است (Rajabi *et al.*, 2019). شکل ۴ نشان داد که نمودار کسر F_0/F در برابر $[Q]$ در محدوده نسبی غلظت خطی است؛ در نتیجه نشانگر یک نوع مکانیسم خاموشی دینامیک یا استاتیک است. با استفاده از رگرسیون خطی نمودار کسر F_0/F در برابر غلظت نانوذره Fe_3O_4 ، مقادیر K_{SV} برای کمپلکس نانوذره $-\text{Fe}_3\text{O}_4$ -تریپسین در دو درجه دما ۲۹۸ و ۳۰۸ درجه سانتی‌گراد محاسبه و نتایج در جدول ۲ درج شد. اطلاعات به دست‌آمده نشان می‌دهد که نانوذره Fe_3O_4 می‌تواند به تریپسین متصل شده و کمپلکس تریپسین-نانوذره Fe_3O_4 را تشکیل دهد. نتایج جدول ۲ نشان می‌دهد که مقادیر ثابت خاموشی (K_{SV}) و مقادیر ثابت خاموشی بیومولکولی (k_q)، با دما رابطه عکس دارند و مقادیر k_q بزرگ‌تر از $\text{M}^{-1}\text{s}^{-1}$ (2×10^{10} (ماکریم) ثابت خاموشی دینامیک) هستند. بنابراین، کاهش قابل توجه میزان نشر فلورسانس تریپسین توسط نانوذره Fe_3O_4 نشان‌دهنده مکانیسم خاموشی استاتیک است.

تجزیه و تحلیل ویژگی‌های اتصال

انواع فعل و انفعالات مولکولی می‌تواند بازده کوانتوموی فلوروفور را خاموش کند. این فعل و انفعالات شامل واکنش‌های حالت برانگیخته، آرایش مجدد مولکولی، انتقال انرژی، تشکیل کمپلکس حالت پایه (خاموشی استاتیک) و خاموشی برخورد (خاموشی دینامیک) است (Lakowicz, 2013). فرایندهای خاموشی فلورسانس عموماً توسط دو مکانیسم توضیح داده می‌شوند؛ نوع دینامیک و یا استاتیک. هنگامی که مکانیسم خاموشی استاتیک غالب است، در برهمکنش میان فلوروفور و خاموش کننده در حالت پایه، گونه‌ای جدید و فاقد لومینسانس تشکیل می‌شود. در مکانیسم خاموشی استاتیک با افزایش دما مقدار ثابت استرن ولمر (K_{SV}) کاهش یافته و در نتیجه پایداری این کمپلکس در دماهای بالاتر کاهش می‌یابد و بر عکس، در مکانیسم خاموشی دینامیک بین خاموش‌کننده و حالت برانگیخته فلوروفور، از طریق برخوردهای پخش شده در نیمه‌عمر حالت برانگیخته فلوروفور برهمکنش رخ می‌دهد با افزایش دما مقدار ثابت استرن ولمر (K_{SV}) افزایش می‌یابد (Zhang *et al.*, 2009; Wang *et al.*, 2011; Saeidifar *et al.*, 2015). رفتار اتصالی نانوذره و تریپسین به‌وسیله داده‌های خاموشی فلورسانس به دست‌آمده در آزمایش‌های فوق و معادله استرن-ولمر (Lakowicz 2013) ارزیابی شده است:



شکل ۴. نمودار استرن ولمر خاموشی تریپسین در حضور غلظت‌های مختلف نانوذره Fe_3O_4 (۵، ۷، ۱، ۰ میکروگرم بر میلی لیتر) در دو دمای ۲۹۸ و ۳۰۸ درجه کلوین

جدول ۲. ثابت‌های خاموشی و پارامترهای ترمودینامیکی تریپسین حضور غلظت‌های مختلف نانوذره Fe_3O_4 (۵، ۷، ۱، ۰ میکروگرم بر میلی لیتر)

${}^\circ\text{G}\Delta$ (kJ mol⁻¹)	ΔS° (J mol⁻¹K⁻¹)	ΔH° (kJ mol⁻¹)	n	K_a (M⁻¹)	k_q (M⁻¹s⁻¹)	K_{sv} (M⁻¹)	دما (کلوین)
-۸/۲۲۵	۵/۳۲	-۶/۶۳۸	۱/۰۰۱	.۰/۰۳۶	۳/۶۳×۱۰⁻۱	۳/۶۳×۱۰⁻۲	۲۹۸
-۸/۷۳۲	۶/۷۹	-۶/۶۳۸	۱/۰۱۲	.۰/۰۳۳	۳/۲۶×۱۰⁻۱	۳/۲۶×۱۰⁻۲	۳۰۸

کمپلکس حالت پایه‌ای است که پایداری آن نیز با افزایش دما کاهش می‌یابد (Lakowicz, 2013). Hemmateenejad & Yousefinejad (2013) در مطالعه‌ای دیگر مشاهده کردند که نانوذرات ZnS نشر فلورسانس آلبومین سرم انسانی را با مکانیسم خاموشی استاتیک کاهش داده‌اند. Aghili *et al.* (2016) گزارش کرده‌اند که نانوذرات آهن توانسته نشر فلورسانس آنزیم لیزوزیم را نیز کاهش دهد. آنها معتقدند تمام گونه‌های نانوذرات آهن با استفاده از پیوندهای هیدروژنی به انواع مختلف پروتئین‌ها متصل می‌شوند.

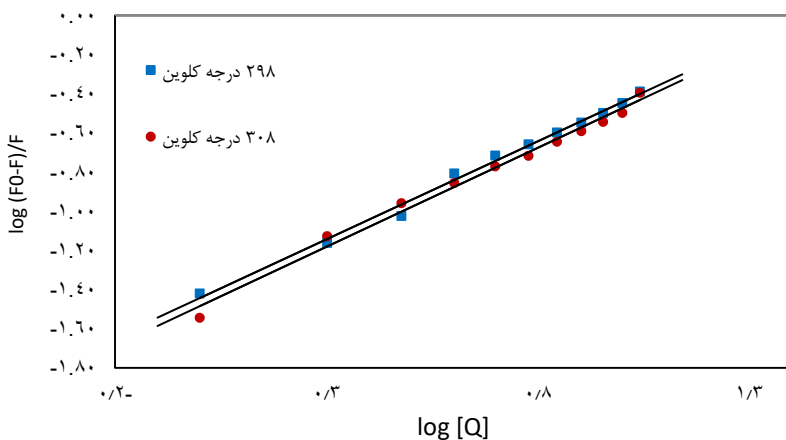
تجزیه و تحلیل پارامترهای ترمودینامیکی نیروهای بین مولکولی که بین بیومولکول و سوستراهای مولکولی کوچک عمل می‌کنند شامل برهمکنش‌های الکترواستاتیک، پیوندهای هیدروژن، نیروهای آبگریز، برهمکنش‌های واندروالسی و غیره می‌باشند (Hu *et al.*, 2005).

تجزیه و تحلیل اتصال و خصوصیات ترمودینامیکی آن ثابت اتصال (K_a) و تعداد جایگاه اتصال (n) را می‌توان از رابطه اصلاح شده استرن- ولمر (معادله ۴) به دست آورد (Lakowicz, 2013)

$$\log \left[\frac{F_0 - F}{F} \right] = \log K_a + n \log [Q] \quad (4)$$

شکل ۵ نشان داد که نمودارهای استرن- ولمر اصلاح شده $[F_0 - F]/F$ در برابر $[Q]$ در دو دما خطی بودند. مقادیر K_a و n در جدول ذکر شده است. مقادیر n معادل تعداد جایگاه‌های اتصال است و مقدار آن تقریباً برابر یک بود که نشان می‌دهد حدوداً یک جایگاه اتصال دهنده در تریپسین برای Fe_3O_4 وجود دارد. مشخص شد مقادیر K_{sv} رابطه معکوس با دما دارند و مطابق با روند K_{sv} که در بالا گفته شد با افزایش دما کاهش یافته است. بنابراین، نتیجه ثابت کرد در واکنش اتصال، کمپلکس ناپایداری ایجاد شده و این کمپلکس با افزایش دما تضعیف و جدا می‌شود.

مکانیسم خاموشی استاتیک ناشی از ایجاد



شکل ۵. نمودار $\log [Q]/[F] - F/F$ در برابر $\log [Q]$ در حضور غلظت‌های مختلف نانوذره Fe_3O_4 (۷، ۵، ۳، ۱، ۰ میکروگرم بر میلی‌لیتر)

كمى منفى ΔH° نشان مى دهد که برهmeknesh‌های الکتروستاتیک، واندروالسی و پیوندهای هیدروژنی نیروهای اصلی اتصال دهنده بین تریپسین و نانوذره Fe_3O_4 بودند. Wang (2017) Momeni *et al.* Fe_3O_4 (2011) *et al.* در مطالعات پیشین خود به طور جداگانه گزارش کردند که نانوذرات TiO_2 از طریق برهmeknesh‌های الکتروستاتیک همراه با برهmeknesh‌های واندروالسی و پیوندهای هیدروژنی در فرایند اتصال تریپسین و نانوذرات درگیر بودند.

طیف سی دی

طیفسنجی دو رنگی دورانی (CD) ابزار مناسبی برای تشخیص تغییر ساختاری پروتئین هنگام تعامل با لیگاندها است. تجزیه و تحلیل طیف CD-UV دور (۲۶۰-۲۰۰ نانومتر) برای کشف تغییرات ساختارهای دوم پروتئین استفاده می‌شود. طیف CD-UV دور جذب نوری پیوند پپتیدی و ساختار دوم پپتید را مشخص می‌کند (Momeni *et al.*, 2016). شکل ۶ طیف‌های دور کمپلکس‌های تریپسین-نانوذره Fe_3O_4 را نشان می‌دهد. همان‌طور که در شکل مشخص است، حداقل گلوبال در حدود ۲۰۸ نانومتر که به مارپیچ آلفا در ساختار مولکولی تریپسین مربوط است با افزودن نانوذره Fe_3O_4 تغییر یافت

با توجه به وابستگی ثابت اتصال به دما، یک فرایند ترمودینامیکی به عنوان مسئول تشکیل کمپلکس در نظر گرفته شد. به منظور توصیف بیشتر برهmeknesh بین نانوذرات Fe_3O_4 و تریپسین، برخی از پارامترهای ترمودینامیکی وابسته به دما مانند تغییر آنتالپی، ΔH° ، تغییر آنتروپی، ΔS° و تغییر انرژی آزاد، ΔG° ، را می‌توان با معادله وانت هوف ارزیابی کرد (Li *et al.*, 2013)

$$\ln K_a = \frac{\Delta H^\circ}{RT} + \frac{\Delta S^\circ}{R} \quad (5)$$

در اینجا K_a ثابت اتصال لینوور-برک و R ثابت گاز است. پارامترهای ترمودینامیکی در جدول ۲ ذکر شده‌اند. مقادیر منفى ΔG° نشان داد که فرایند برهmeknesh به صورت خودبه‌خودی اتفاق افتاده و علامت منفى ΔH° و علامت مثبت ΔS° نشان می‌دهد که فرایند اتصال واکنش گرمایی است. طبق دیدگاه رز و سابرمانیان، اگر ΔH° و ΔS° مثبت باشد، برهmeknesh‌های آبگریز نیروی اصلی اتصال دهنده هستند.

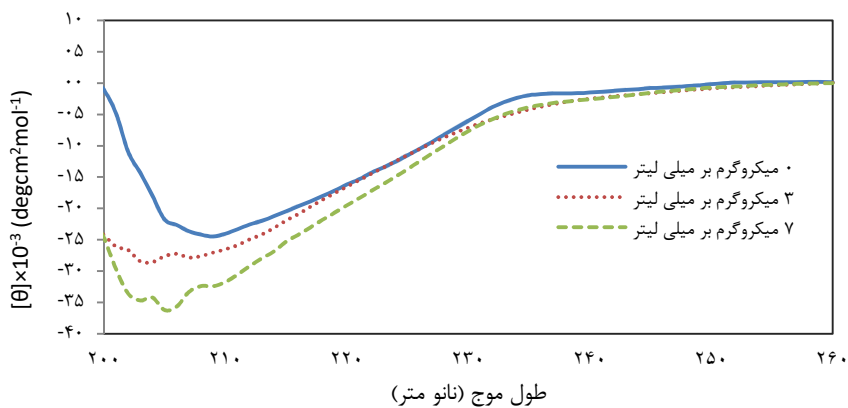
اگر ΔH° و ΔS° هر دو منفی باشد، برهmeknesh‌های واندروالسی و پیوندهای هیدروژنی نقش اصلی را در واکنش اتصالی دارند و اگر ΔH° منفی و ΔS° صفر و ΔS° مثبت باشد، برهmeknesh‌های الکتروستاتیک پیونددهنده‌های اصلی هستند (Ross & Subramanian, 1981). مقادیر مثبت ΔS° و مقادیر

صفحات بتا وجود دارد. یکی از این صفحات، رزیدیوی سرین کاتالیتیک را به طور صحیح در جایگاه فعال قرار داده است در حالیکه صفحه دوم بخشی از شکاف شناسایی سوبسترا را تشکیل می‌دهد (Prasad & Roy, 2010). می‌توان استنباط کرد که صفحات بتاتریپسین به طور مستقیم به نانوذرات Fe_3O_4 متصل می‌شود و استحکام این صفحات را تغییر می‌دهد که منجر به تغییر فعالیت تریپسین می‌شود.

فعالیت تریپسین

افزایش دما به طور کلی سرعت واکنش را افزایش می-دهد و کاهش دما سرعت واکنش را کاهش می‌دهد. با این حال، درجه حرارت بسیار بالا یا پایین می‌تواند ساختار و فعالیت یک آنزیم را از بین برداشت. حالات می‌توانند آنزیم‌ها یا ساختار پروتئین‌ها را تثبیت یا بثبات کنند و بر فعالیت آن تأثیر بگذارند. فعالیت و حداقل سرعت فعالیت تریپسین با افزایش غلظت نانوذره Fe_3O_4 به طور متناسب افزایش یافته است (شکل ۷).

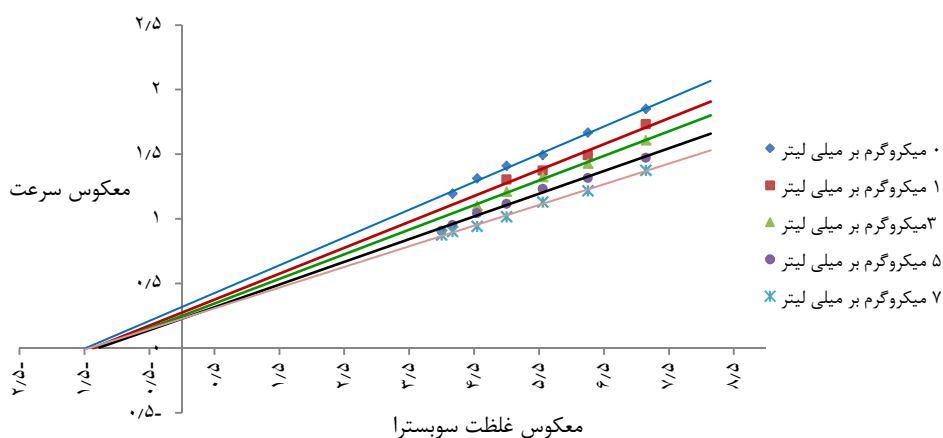
(Kotormán *et al.*, 2003) بنابراین، تغییرات اندکی در ساختار دوم تریپسین رخ داده است. با افزودن نانوذره Fe_3O_4 درصد مارپیچ آلفا افزایش (از $5/34\%$ به $5/95\%$) و صفحات بتا اندکی کاهش (از $38/94\%$ به $40/89\%$) یافت (جدول ۳). این پدیده مشابه مطالعات قبلی مشاهده شده است. Xu *et al.* (2010) نشان دادند که میزان صفحات بتا در SiO_2 در هنگام جذب نانوذرات DNase II کاهش و میزان ساختار مارپیچ آلفا افزایش یافته‌اند. Wang *et al.* (2011) نیز نتایج مشابهی در برهمکنش نانوذرات TiO_2 با تریپسین مشاهده کردند. Aghili *et al.* (2016) تغییری در ساختار ثانویه لیزوزیم در حضور نانوذرات آهن مشاهده نکردند. نانوذرات سطح تماس بیشتری برای پروتئین‌های جذب شده فراهم می‌کنند که منجر به اثر متقابل بین پروتئین‌ها و نانوذرات می‌شود. درجه بیشتر برهمکنش، منجر به آشفتگی بیشتر در ساختار پروتئین می‌شود (Fei & Perrett, 2009). در بین دو دومین تریپسین، پیوندهای هیدروژنی فراوانی بین شبکه‌های



شکل ۶. طیف Far-UVC CD تریپسین در حضور نانوذره Fe_3O_4

جدول ۳. درصد عناصر ساختار دوم تریپسین در حضور نانوذره Fe_3O_4

ساختار	۰ میکروگرم بر میلی لیتر	۳ میکروگرم بر میلی لیتر	۷ میکروگرم بر میلی لیتر
مارپیچ آلفا	% ۵/۹۵	% ۵/۴۳	% ۵/۳۴
صفحات بتا	% ۳۸/۹۴	% ۴۰/۸۴	% ۴۰/۸۹
ترن بتا	% ۲۰/۶۸	% ۲۰/۰۰	% ۱۹/۶۷
رن-dom کوبل	% ۳۴/۳۴	% ۳۴/۰۸	% ۳۴/۱۰



شکل ۷. فعالیت تریپسین در حضور نانوذره Fe_3O_4 (صفر، ۱، ۳، ۵، ۷ میکروگرم بر میلی لیتر)

استفاده از تریپسین گاوی به عنوان مدل پروتئینی، اثر تحریکی و اتصال نانوذرات Fe_3O_4 بر تریپسین مورد بررسی قرار گرفت. در این پژوهش از تکنیک‌های اسپکتروسکوپی شامل طیف جذب UV-Vis، پایداری حرارتی، طیف نشر فلورسانس، CD و سینتیک Fe_3O_4 استفاده شد. تحقیقات ما نشان داد که نانوذره Fe_3O_4 فعالیت سینتیکی تریپسین را تاحدودی افزایش می‌دهد. نتایج ترمودینامیک مطالعات پایداری گرمایی آنزیم تریپسین در حضور نانوذرات Fe_3O_4 حاکی از آن است که تریپسین به سطح نانوذره جذب شده و منجر به کاهش پایداری حرارتی آن می‌شود. ΔS°_m و ΔH°_m نیز به همین صورت تغییر پیدا می‌کنند. آزمایشات مختلف نشان داده‌اند که وقتی آنزیم ببروی سطح نانوذره مغناطیسی Fe_3O_4 جذب می‌شود، محتوای ساختار دوم آن تغییر می‌یابد بنابراین طبق نتایج طیف CD، محتوی صفحات بتا تریپسین با افزودن نانوذرات کاهش و محتوی مارپیچ آلفا افزایش می‌یابد. در طیفسنجی فلورسانس مشاهده می‌شود که نانوذره Fe_3O_4 ، شدت فلورسانس تریپسین را کاهش می‌دهد که این امر نشان می‌دهد یا محیط اطراف تریپتوфан، قطبی می‌شود و یا تریپتوfan به یک گروه باردار نزدیک می‌گردد. نتایج حاصل از مطالعات ترمودینامیکی نیز نشان می‌دهد یک جایگاه اتصال در اطراف رزیدیوی تریپتوfan در تریپسین برای نانوذره

این افزایش در فعالیت تریپسین به دلیل تغییر در ترکیب آنزیم بود. ساختار پروتئین ممکن است در حضور نانوذره Fe_3O_4 بازتر شود و مرکز فعالیت کاتالیزوری بیشتر در معرض بستر و حلal است Bayramoglu *et al.* (Rajabi *et al.*, 2019) (2014) در مطالعات پیشین مشاهده کردند که نانوذرات Fe_3O_4 سرعت ماکزیمم فعالیت آنزیم پروتئیناز K از خانواده سرین پروتئاز را کاهش می‌دهد و به عنوان مهارکننده غیرقابل رقابت از این نانوذره نام برده‌اند.

بحث و نتیجه‌گیری

امروزه از نانوذرات در زمینه‌های گوناگون استفاده می‌شود که این امر می‌تواند بر دستگاه گوارش تأثیر بگذارد. بنابراین، ارزیابی دقیق تأثیر نانوذرات مسأله مهمی است. اخیراً از نانوذرات مغناطیسی استفاده‌های زیادی می‌شود برای مثال در تصویربرداری رزونانس مغناطیسی، افزایش دما برای درمان تومور، رساندن دارو و غیره کاربرد زیادی دارند. همچنین مشخص شده است که بعضی از نانوذرات مغناطیسی مانند نانوذره Fe_3O_4 ، از تشکیل تجمعات آمیلوئیدی جلوگیری می‌کنند و یا تجمعات تشکیل شده آمیلوئیدی را از بین می‌برند و از این طریق در درمان بیماری آلزایمر مؤثر می‌باشند (Bellova *et al.*, 2010).

محیط‌های تریپتوфан بخارت تشکیل حالت پایه بین تریپسین و نانوذرات Fe_3O_4 می‌باشد. می‌توان نتیجه گرفت که نانوذرات تأثیر عمده‌ای بر ساختار تریپسین نشان می‌دهند. از این‌رو، برای استفاده پزشکی از نانوذرات Fe_3O_4 ممکن است نیاز باشد که قبل از گسترش کاربرد آنها در سیستم‌های سلولی و بین سلولی، سمیت آنها بیشتر سنجیده شود. در سال‌های اخیر نانوذرات برای سنتز و آنالیزهای بیوالکتروکاتالیتیکی و الکتروشیمیایی مورد استفاده قرار گرفته‌اند. در میان آنها نانوذرات Fe_3O_4 بیشترین استفاده را در میان مواد مغناطیسی دارد چون سازگاری بالا، خصوصیات فوق پارامغناطیسی قوی، مسمومیت پایین و آماده‌سازی آسانی دارد. این نانوذرات برهمکنش‌های الکتروستاتیک و هیدروفوبیک در این ساختارها دارند که ممکن است منجر به تغییرات بیشتر گردد (Zhang *et al.*, 2006). فرایند غیرمتحرک شدن تریپسین توسط نانوکمپوزیت و Fe_3O_4 سبب می‌شود که تریپسین ثابت شده روی الکترود خصوصیات انتقال الکترونی مستقیم، پایداری حرارتی پایین‌تر و بهبود واکنش کاتالیزوری را نشان دهد (Wu & Narsimhan, 2008).

سپاسگزاری

از تمامی عزیزانی که در انجام این مطالعات با ما همکاری کرده‌اند، همچنین از دانشگاه پیام نور مرکز شهرکرد و آزمایشگاه بیوشیمی دانشگاه شهرکرد محل انجام این پژوهش، تشکر و قدردانی می‌گردد.

REFERENCES

- Aghili, Z.; Taheri, S.; Zeinabad, H. A.; Pishkar, L., Saboury, A.A.; Rahimi, A.; & Falahati, M. (2016). Investigating the interaction of Fe nanoparticles with lysozyme by biophysical and molecular docking studies. *PloS One*; 11: (10).
- Bahamin, N.; & Shareghi, B. (2014). The Effect of Cadmium Sulfate on the

وجود دارد. مقادیر ΔG° منفی، مقادیر ΔH° منفی و مقادیر ΔS° مثبت بود، از این‌رو، نیروهای برهمکنش الکتروستاتیک نیروی غالب در این فرایند اتصال است. چون میزان ΔH° کمی منفی است برهمکنش‌های واندروالسی و پیوندهای هیدروژنی نیز ساختار دوم تریپسین را تغییر داد. تغییر فعالیت تریپسین در اثر تغییر در کنفورماتیون آنزیم ایجاد شده و تغییر ساختار توسط نیروی الکتروستاتیک همراه با پیوندهای هیدروژنی و واندروالسی ایجاد شده است. در طیف جذب اسپکتروسکوپی، تأثیر نانوذره Fe_3O_4 بر جذب تریپسین در طول موج ۲۸۰ نانومتر مورد بررسی قرار گرفته است. نتایج حاصل از این مطالعه نشان می‌دهند که وقتی غلظت نانوذره Fe_3O_4 زیاد می‌شود، میزان جذب تریپسین در طول موج ۲۸۰ نانومتر افزایش می‌یابد. چنانچه قبل از گفته شد، در pH ۸ آنزیم Fe_3O_4 متصل شده و در نتیجه باعث می‌شود که میزان جذب این آنزیم در طول موج ۲۸۰ نانومتر زیاد شود (Liu *et al.*, 2010). بر اساس نتایج تحقیق استنباط می‌کنیم که نانوذرات Fe_3O_4 با تریپسین برهمکنش می‌دهند و برهمکنش‌های الکتروستاتیک نیروهای بین مولکولی غالب برای پایدارسازی این کمپلکس حالت پایه هستند. تغییر پیک جذبی ۲۸۰ نانومتر نشان‌دهنده تغییرات فضایی ساختار آنزیم می‌باشد و همچنین ثابت‌کننده این امر است که این اتصال سبب کاهش هیدروفوبیسیته ریز

Thermal Stability and Kinetics of Peroxidase at Different Temperatures. *eab.journals.pnu.ac.ir*; 2 (6): 7-16.

Bayramoglu, G., Ozalp, V.C., & Arica, M.Y. (2014). Magnetic polymeric beads functionalized with different mixed-mode ligands for reversible immobilization of trypsin. *Industrial &*

- Engineering Chemistry Research; 53(1): 132-140.
- Bellova, A.; Bystrenova, E.; Koneracka, M.; Kopcansky, P.; Valle, F.; Tomasovicova, N.; Timko, M.; Bagelova, J.; Biscarini, F.; & Gazovaet, Z. (2010). Effect of Fe_3O_4 magnetic nanoparticles on lysozyme amyloid aggregation. *Nanotechnology*; 21(6): 065103.
- Brena, B.; González-Pombo, P.; & Batista-Viera, F. (2013). Immobilization of enzymes: a literature survey. *Immobilization of enzymes and cells*, Springer: 15-31.
- Chanphai, P.; Thomas, T.; & Tajmir-Riahi, H. (2016). Conjugation of biogenic and synthetic polyamines with trypsin and trypsin inhibitor. *RSC Advances*; 6 (59): 53690-53697.
- Chi, Z.; Liu, R.; & Zhang, H. (2010). Noncovalent interaction of oxytetracycline with the enzyme trypsin. *Biomacromolecules*; 11(9): 2454-2459.
- Farhadian, S.; Shareghi, B.; Momeni, L.; Abou-Zied, O.K.; Sirotkin, V.A.; Tachiya, M.; & Saboury, A.A. (2018). Insights into the molecular interaction between sucrose and α -chymotrypsin. *International Journal of Biological Macromolecules*; 114: 950-960.
- Fei, L.; & Perrett, S. (2009). Effect of nanoparticles on protein folding and fibrillogenesis. *International Journal of Molecular Sciences*; 10(2): 646-655.
- Ghosh, S. (2008). Interaction of trypsin with sodium dodecyl sulfate in aqueous medium: a conformational view. *Colloids and Surfaces B: Biointerfaces*; 66 (2): 178-186.
- Hemmataenejad, B.; & Yousefinejad, S. (2013). Interaction study of human serum albumin and ZnS nanoparticles using fluorescence spectrometry. *Journal of Molecular Structure*; 1037: 317-322.
- Hu, Y.-J.; Liu, Y.; Zhang, L.-X.; Zhao, R.-M. & Qu, S.-S. (2005). Studies of interaction between colchicine and bovine serum albumin by fluorescence quenching method. *Journal of Molecular Structure*; 750(1-3): 174-178.
- Kaushik, J.K.; & Bhat, R. (1998). Thermal stability of proteins in aqueous polyol solutions: role of the surface tension of water in the stabilizing effect of polyols. *The Journal of Physical Chemistry B*; 102(36): 7058-7066.
- Kim, J.; Grate, J.W.; & Wang, P. (2006). Nanostructures for enzyme stabilization. *Chemical Engineering Science*; 61(3): 1017-1026.
- Kotormán, M.; Laczkó, I.; Szabó, A.; & Simon, L. (2003). Effects of Ca^{2+} on catalytic activity and conformation of trypsin and α -chymotrypsin in aqueous ethanol. *Biochemical and Biophysical Research Communications*; 304(1):18-21.
- Koutsopoulos, S.; Patzsch, K.; Bosker, W.T.; & Norde, W. (2007). Adsorption of trypsin on hydrophilic and hydrophobic surfaces. *Langmuir*; 23 (4): 2000-2006.
- Kumar, A.; Attri, P.; & Venkatesu, P. (2012). Effect of polyols on the native structure of α -chymotrypsin: A comparable study. *Thermochimica Acta*; 536: 55-62.
- Lakowicz, J.R. (2013). *Principles of fluorescence spectroscopy*, Springer Science & Business Media.
- Li, H.; Pu, J.; Wang, Y.; Liu, C.; Yu, J.; Li, T. & Wang, R. (2013). Comparative study of the binding of Trypsin with bifendate and analogs by spectrofluorimetry. *Spectrochimica Acta Part A: Molecular and Biomolecular Spectroscopy*; 115: 1-11.
- Liu, F.-F.; Ji, L.; Zhang, L.; Dong, X.Y.; & Su, Y. (2010). Molecular basis for polyol-induced protein stability revealed by molecular dynamics simulations. *The Journal of Chemical Physics*; 132(22): 06B605.
- Liu, Y.; & Liu, R. (2012). The interaction of α -chymotrypsin with one persistent organic pollutant (dicofol): Spectroscopic and molecular modeling identification. *Food and Chemical Toxicology*; 50(9): 3298-3305.

- Lu, D.; Zhao, X.; Zhao, Y.; Zhang, B.; Zhang, B.; Geng, M.; & Liu, R. (2011). Binding of Sudan II and Sudan IV to bovine serum albumin: comparison studies. *Food and Chemical Toxicology*; 49 (12): 3158-3164.
- Mahdavian, A.R.; & Mirrahimi, M.A.-S. (2010). Efficient separation of heavy metal cations by anchoring polyacrylic acid on superparamagnetic magnetite nanoparticles through surface modification. *Chemical Engineering Journal*; 159(1-3): 264-271.
- Mahmodian, S.; Momeni, L. & Shareghi, B. (2018). Investigating the MgO nanoparticles and trypsin interaction through spectroscopic methods. *Monatshefte für Chemie-Chemical Monthly*; 149(11): 2131-2136.
- Mahmoudi, M.; Shokrgozar, M.A., Sardari, S.; Moghadam, M.K.; Vali, H.; Laurent, S.; & Stroeve, P. (2011). Irreversible changes in protein conformation due to interaction with superparamagnetic iron oxide nanoparticles. *Nanoscale*; 3(3): 1127-1138.
- Millan, S.; Satish, L.; Kesh, S.; Chaudhary, Y.S.; & Sahoo, H. (2016). Interaction of Lysozyme with Rhodamine B: A combined analysis of spectroscopic & molecular docking. *Journal of Photochemistry and Photobiology B: Biology*; 162: 248-257.
- Momeni, L.; Shareghi, B.; Farhadian, S.; Vaziri, S.; Saboury, A.A.; & Raisi, F. (2018). A molecular simulation and spectroscopic approach to the binding affinity between trypsin and 2-propanol and protein conformation. *International Journal of Biological Macromolecules*; 119: 477-485.
- Momeni, L.; Shareghi, B.; Saboury, A.; & Evini, M. (2017). Interaction of TiO₂ nanoparticle with trypsin analyzed by kinetic and spectroscopic methods. *Monatshefte für Chemie-Chemical Monthly*; 148 (2): 199-207.
- Momeni, L.; Shareghi, B.; & Saboury, A.A. (2017). Spectroscopic analysis of the interaction between NiO nanoparticles and bovine trypsin. *Journal of Biomolecular Structure and Dynamics*; 35(6): 1381-1388.
- Momeni, L.; Shareghi, B.; Saboury, A.A.; & Farhadian, S. (2016). Comparative studies on the interaction of spermidine with bovine trypsin by multispectroscopic and docking methods. *the Journal of Physical Chemistry B*; 120(36): 9632-9641.
- Momeni, L.; Shareghi, B.; Saboury, A.A.; Farhadian, S.; & Reisi, F. (2017). A spectroscopic and thermal stability study on the interaction between putrescine and bovine trypsin. *International Journal of Biological Macromolecules*; 94: 145-153.
- Murphy, K.P. (2001). Protein structure, stability, and folding, Springer Science & Business Media.
- Oobatake, M.; & Ooi, T. (1993). Hydration and heat stability effects on protein unfolding. *Progress in Biophysics and Molecular Biology*; 59(3): 237-284.
- Panyam, J.; & Labhasetwar, V. (2003). Biodegradable nanoparticles for drug and gene delivery to cells and tissue. *Advanced Drug Delivery Reviews*; 55(3): 329-347.
- Powers, K.W.; Brown, S.C.; Krishna, V.B.; Wasdo, S.C.; Moudgil, B.M.; & Roberts, S.M. (2006). Research strategies for safety evaluation of nanomaterials. Part VI. Characterization of nanoscale particles for toxicological evaluation. *Toxicological Sciences*; 90(2): 296-303.
- Prasad, S.; & Roy, I. (2010). Effect of disaccharides on the stabilization of bovine trypsin against detergent and autolysis. *Biotechnology Progress*; 26(3): 627-635.
- Rajabi, M.; Shareghi, B.; Farhadian, S.; & Momeni, L. (2019). Evaluation of maltose on conformation and activity parameters of trypsin. *Journal of Biomolecular Structure and Dynamics*; 1-6.
- Rawlings, N.D.; & Salvesen, G. (2013). *Handbook of proteolytic enzymes*, Academic press Amsterdam.

- Ross, P.D.; & Subramanian, S. (1981). Thermodynamics of protein association reactions: forces contributing to stability. *Biochemistry*; 20(11): 3096-3102.
- Saeidifar, M.; Mansouri-Torshizi, H.; & Saboury, A.A. (2015). Biophysical study on the interaction between two palladium (II) complexes and human serum albumin by Multispectroscopic methods. *Journal of Luminescence*; 167: 391-398.
- Schmid, F.X. (2001) Biological macromolecules: UV-visible spectrophotometry. e LS.
- Shami, E.; Rothstein, A.; & Ramjee singh, M. (1989). Stabilization of biologically active proteins. *Trends in Biotechnology*; 7 (7): 186-190.
- Shareghi, B.; Farhadian, S.; Zamani, N.; Salavati-Niasari, M.; & Gholamrezaei, S. (2016). Stability and enzyme activity of lysozyme in the presence of Fe_3O_4 nanoparticles. *Monatshefte für Chemie-Chemical Monthly*; 147(2): 465-471.
- Shaw, A.; & Bott, R. (1996). Engineering enzymes for stability. *Current Opinion in Structural Biology*; 6(4): 546-550.
- Wang, G.; Chen, Y.; Yan, C.; & Lu, Y. (2015). Study on the interaction between gold nanoparticles and papain by spectroscopic methods. *Journal of Luminescence*; 157: 229-234.
- Wang, W.-R.; Zhu, R.-R.; Xiao, R.; Liu, H.; & Wang, S.-L. (2011). The electrostatic interactions between nano-TiO₂ and trypsin inhibit the enzyme activity and change the secondary structure of trypsin. *Biological Trace Element Research*; 142 (3): 435-446.
- Wang, Y.-Q.; & Zhang, H.-M. (2014). Effects of bisphenol S on the structures and activities of trypsin and pepsin. *Journal of Agricultural and Food Chemistry*; 62(46): 11303-11311.
- Wu, X.; & Narsimhan, G. (2008). Effect of surface concentration on secondary and tertiary conformational changes of lysozyme adsorbed on silica nanoparticles. *Biochimica et Biophysica Acta (BBA)-Proteins and Proteomics*; 1784 (11): 1694-1701.
- Xu, Z.; Wang, S.-L.; & Gao, H.-W. (2010). Effects of nano-sized silicon dioxide on the structures and activities of three functional proteins. *Journal of Hazardous Materials*; 180(1-3): 375-383.
- Zhang, H.-M.; Wang, Y.-Q.; & Jiang, M.-L. (2009). A fluorimetric study of the interaction of CI Solvent Red 24 with haemoglobin. *Dyes and Pigments*; 82(2): 156-163.
- Zhang, R., Song, M.; Li, X.; Guan, Zh.; & Wang, X. (2006). In situ electrochemical contact angle study of hemoglobin and hemoglobin- Fe_3O_4 nanocomposites. *Analytical and Bioanalytical Chemistry*; 386(7-8): 2075-2079.